

Numero di matricola

-	-	-	-	= $10\alpha - 1$	= $10\beta - 1$

1) Si consideri il pendolo schematizzato in figura 1 e descritto dalla seguente equazione:

$$mL^2\ddot{\theta} - mgL \sin \theta = C.$$

Sia $m = 20 + \frac{\alpha}{10}$ kg la massa del pendolo, $L = 3 + \frac{\beta}{10}$ m la sua lunghezza, $g = 9.81$ m/s² l'accelerazione di gravità. Si desidera controllare l'angolo θ del pendolo, agendo sulla coppia di controllo C .

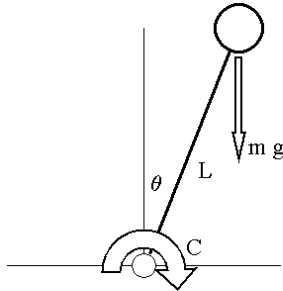


Figure 1: Sistema meccanico da controllare

- A) Si calcolino i punti di equilibrio del sistema nel caso in cui la coppia C sia costante e pari a $C = \bar{C} = 0$.
- B) Si linearizzi il sistema in un intorno della configurazione di equilibrio ricavata al punto A) più prossima a quella rappresentata in figura. Si determini una rappresentazione in forma di stato per il sistema lineare ottenuto e si discuta la stabilità dell'equilibrio.
- C) Per il sistema linearizzato si ricavi la funzione di trasferimento tra l'uscita θ e l'ingresso C .
- D) Per la funzione di trasferimento ricavata, si progetti un controllore in retroazione in modo da soddisfare le seguenti specifiche:
- D.1) partendo dalla configurazione di equilibrio precedentemente ottenuta, il pendolo sia in grado di raggiungere a regime un qualsiasi angolo $\hat{\theta}$ con errore nullo;
 - D.2) nel raggiungere l'angolo $\hat{\theta}$, sia garantita una sovraelongazione non superiore al 30% e un tempo di assestamento non superiore a 2.5 s;
 - D.3) siano attenuati di un fattore 10^4 gli effetti di rumore sinusoidale, con pulsazione superiore a 500 rad/s, agente sul trasduttore di misura dell'angolo θ .
- E) Si supponga di voler realizzare il controllore precedentemente progettato per mezzo di un programma al computer, in cui ogni calcolo sia svolto su tempi multipli del tempo di "clock" $T = 0.001$ s. Si disponga di una prima porta di ingresso che legga il valore istantaneo del riferimento $\theta_r(t)$ e di una seconda porta di ingresso che legga il valore istantaneo dell'angolo del pendolo $\theta(t)$. Sia inoltre presente una porta di uscita che acquisisca il valore istantaneo calcolato del controllo $C(t)$, per renderlo disponibile all'impianto da controllare. Utilizzando uno pseudo linguaggio di programmazione, si scriva un programma che simuli il controllore progettato.
- OPZIONALE)** Utilizzando il programma Simulink, si simuli l'evoluzione dinamica del sistema in anello chiuso ottenuto al punto D) nel caso in cui il riferimento sia $\theta_r = 0$ rad, a partire dalla configurazione iniziale $\theta(0) = 0$ rad, $\dot{\theta}(0) = 1$ rad/s.
- 2) Si consideri il sistema massa-molla-smorzatore rappresentato in figura 2. Al variare del parametro b nell'intervallo $0 \leq b \leq 2\sqrt{mk}$, si discutano i modi del sistema e si traccino qualitativamente i diagrammi di Nyquist della funzione di trasferimento che lega la forza $f(t)$ e la posizione $y(t)$.

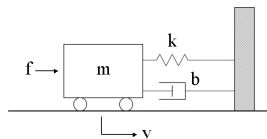


Figure 2: Sistema massa-molla-smorzatore

Soluzione

Esercizio 1

A) Scelte come variabili di stato $x_1 = \theta$, $x_2 = \dot{\theta}$, il sistema può essere descritto dalle seguenti equazioni:

$$\begin{cases} \dot{x}_1 &= x_2, \\ \dot{x}_2 &= \frac{g}{L} \sin x_1 + \frac{C}{mL^2}. \end{cases}$$

Nel caso $C = \bar{C} = 0$, annullando le derivate delle variabili di stato si ottengono le configurazioni di equilibrio

$$\bar{x}_1 = \bar{\theta} = k\pi, \quad \bar{x}_2 = \dot{\bar{\theta}} = 0,$$

con $k = 0, 1, 2, \dots$

B) La configurazione di equilibrio più prossima a quella rappresentata è $\bar{x}_1 = 0$, $\bar{x}_2 = 0$. Il sistema linearizzato può essere ottenuto introducendo le variabili traslate: $\tilde{x} = x - \bar{x} = x$, $\tilde{u} = u - \bar{u} = C - \bar{C} = C$, $\tilde{y} = y - \bar{y} = \theta - \bar{\theta} = \theta$ e le matrici $\mathbf{A} = \left. \frac{\partial f}{\partial x} \right|_{(\bar{x}, \bar{u})}$, $\mathbf{B} = \left. \frac{\partial f}{\partial u} \right|_{(\bar{x}, \bar{u})}$, $\mathbf{C} = \left. \frac{\partial h}{\partial x} \right|_{(\bar{x}, \bar{u})}$, $\mathbf{D} = \left. \frac{\partial h}{\partial u} \right|_{(\bar{x}, \bar{u})}$. Si ottengono le seguenti equazioni:

$$\begin{aligned} \dot{\tilde{x}} &= \mathbf{A}\tilde{x} + \mathbf{B}\tilde{u}, \\ \tilde{y} &= \mathbf{C}\tilde{x} + \mathbf{D}\tilde{u}, \end{aligned}$$

dove

$$\mathbf{A} = \begin{bmatrix} 0 & 1 \\ \frac{g}{L} & 0 \end{bmatrix};$$

$$\mathbf{B} = \begin{bmatrix} 0 \\ \frac{1}{mL^2} \end{bmatrix};$$

$$\mathbf{C} = [1 \quad 0];$$

$$\mathbf{D} = 0.$$

Gli autovalori della matrice \mathbf{A} sono in $\lambda_{1,2} = \pm\sqrt{\frac{g}{L}}$. Poiché il sistema ha un autovalore positivo, il punto di equilibrio risulta instabile.

C) In un intorno della configurazione di equilibrio $\bar{x}_1 = 0$, $\bar{x}_2 = 0$ è possibile approssimare l'equazione del moto del sistema con la seguente:

$$mL^2\ddot{\theta} - mgL\theta = C.$$

L-trasformando la precedente equazione si ottiene

$$G(s) = \frac{Y(s)}{U(s)} = \frac{1}{mL^2s^2 - mgL}.$$

D) La funzione di trasferimento del sistema $G(s)$ ha un polo positivo. È quindi opportuno impiegare la tecnica del doppio anello di retroazione, schematizzata in fig.3. Per prima cosa, utilizzando il luogo delle radici della f.d.t.

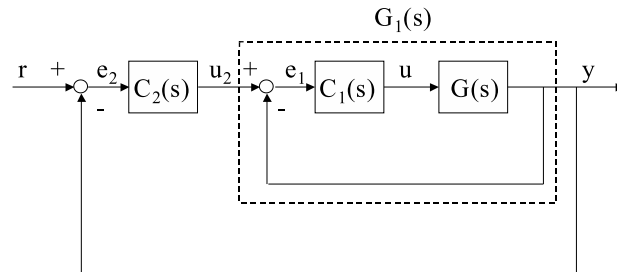


Figure 3: Schema del sistema di controllo da progettare con la tecnica del doppio anello di retroazione

$G(s)$ si progetta un controllore $C_1(s)$ tale che la f.d.t. dell'anello chiuso più interno $G_1(s) = \frac{C_1(s)G(s)}{1+C_1(s)G(s)}$ sia asintoticamente stabile.

Come si osserva in fig.4, la f.d.t. $G_1(s) = \frac{C_1(s)G(s)}{1+C_1(s)G(s)}$ non può essere resa asintoticamente stabile con un controllore $C_1(s)$ puramente proporzionale. Per rendere la f.d.t. $G_1(s)$ asintoticamente stabile, è possibile impiegare una rete anticipatrice (fig.5). Inserendo ad esempio nel controllore $C_1(s)$ uno zero in -1, un polo in -5 e aumentando il guadagno a 1000 si ottiene $C_1(s) = 1000 \frac{s+1}{0.2s+1}$ e $G_1(s) = \frac{27.7778(s+1)}{(s+0.5148)(s^2+4.485s+22.2)}$, i cui poli sono in -0.5148 e

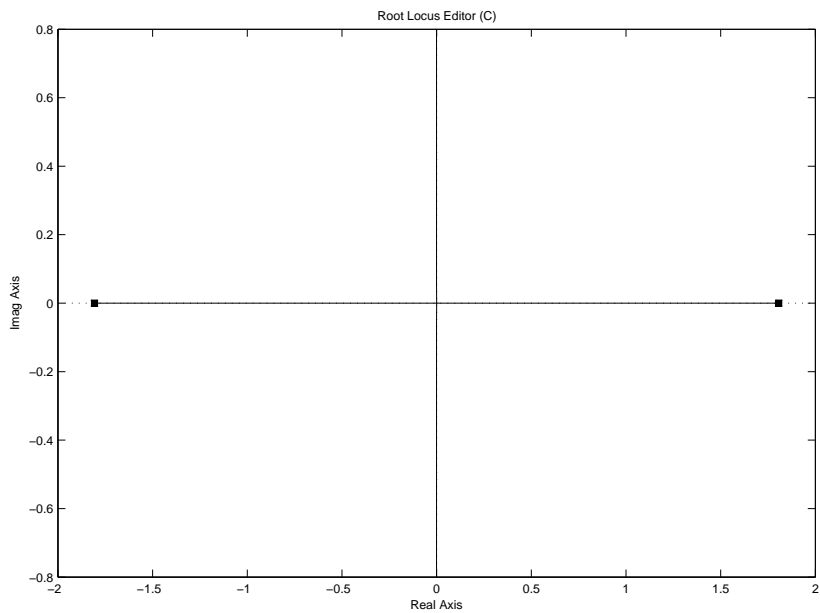


Figure 4: Luogo delle radici della f.d.t. $G(s)$

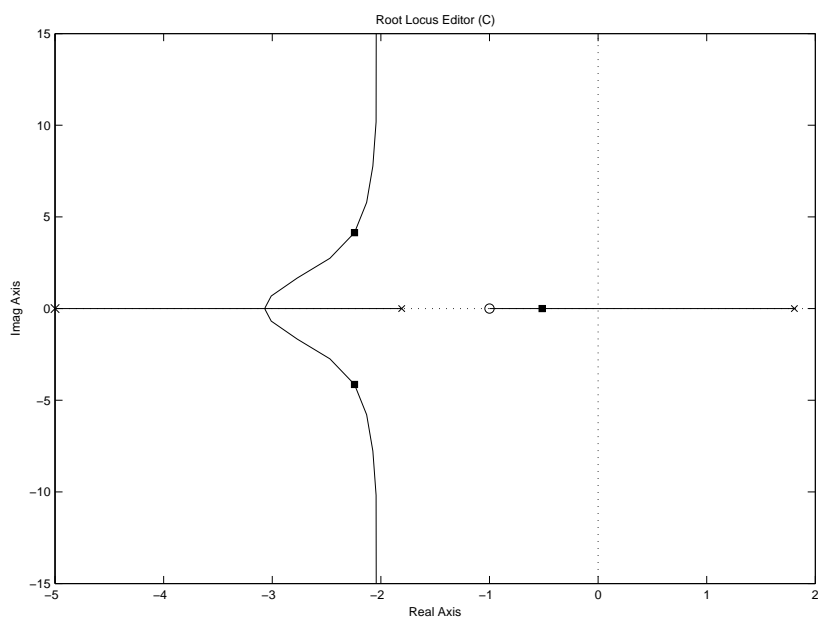


Figure 5: Luogo delle radici della f.d.t. $C_1(s)G(s)$

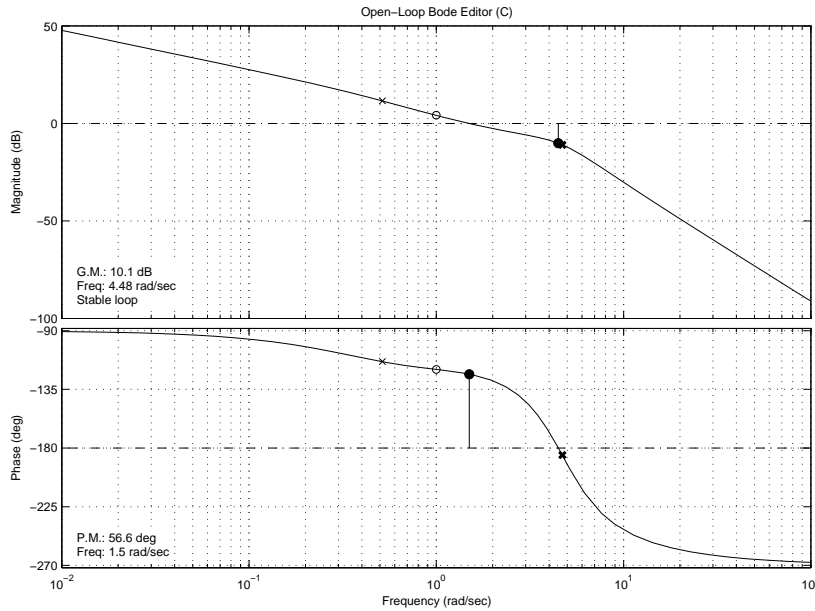


Figure 6: Diagrammi di Bode della f.d.t. $C_2(s)G_1(s)$ con $C_2(s) = \frac{1}{s}$

in $-2.2426 \pm 4.1436 i$. A questo punto, il sistema $G_1(s)$ viene chiuso in retroazione con il controllore $C_2(s)$, il cui compito è quello di soddisfare le specifiche e il cui progetto può essere fatto sui diagrammi di Bode della f.d.t. di anello $C_2(s)G_1(s)$.

Facendo riferimento al progetto di un controllore nella forma:

$$C_2(s) = \frac{K}{s^t} \hat{C}(s), \quad \text{con} \quad \hat{C}(0) = 1,$$

la scelta del *tipo* t e della costante di guadagno K del controllore $C_2(s)$ può essere fatta in base alle specifiche statiche. Affinché l'errore a regime per un riferimento a gradino sia nullo, è sufficiente introdurre un polo nell'origine. I diagrammi di Bode della f.d.t. $C_2(s)G_1(s)$, con $C_2(s) = \frac{1}{s}$, vengono riportati in fig.6.

La massima sovralongazione ammessa per il sistema in anello chiuso è del 30%. Tale specifica si traduce nell'imporre che il sistema in anello chiuso sia approssimabile ad un sistema del secondo ordine con uno smorzamento dei poli dominanti pari o superiore a $\delta = 0.3579$ (come si ricava dall'espressione della sovralongazione

per i sistemi del secondo ordine $S = e^{-\frac{\pi\delta}{\sqrt{1-\delta^2}}}$). Sul piano di Bode, questo significa che si ammette un margine di fase $\phi_M \approx 36^\circ$. La specifica sul tempo di assestamento, per il caso di sistema in anello chiuso a due poli dominanti stabilito sulla base della precedente specifica, indica che la pulsazione naturale dei due poli deve essere $\omega_N \geq \frac{3}{\delta T_a} \approx 3.4 \text{ rad/s}$. Questa specifica si traduce nel chiedere che il diagramma di Bode delle ampiezze di $C_2(j\omega)G_1(j\omega)$ intersechi l'asse a 0db per pulsazioni superiori a 3.4 rad/s.

Per soddisfare queste specifiche è necessario introdurre un'opportuna azione anticipatrice. Ad esempio fissando il guadagno $k = 1.3$ e piazzando uno zero in -1 si ottengono i diagrammi di Bode riportati in fig.7. Così facendo si ottengono un margine di fase di 41.1° e una pulsazione di taglio di 6.63 rad/sec.

A questo punto rimane da imporre la specifica di reiezione dei disturbi in alta frequenza:

$$|C_2(j\omega)G_1(j\omega)|_{db} \leq -80 \text{ db}$$

per $\omega \geq 500 \text{ rad/s}$. Si garantisce questa specifica inserendo nel compensatore un polo in alta frequenza. Ponendo il polo in -200 , si ottiene il diagramma di Bode riportato in fig.8. Le specifiche relative a margine di fase e pulsazione di taglio rimangono verificate.

Il controllore finale ottenuto risulta:

$$C_2(s) = 1.3 \frac{(s+1)}{s(0.005s+1)}.$$

Come si vede in fig.9, la risposta al gradino del sistema in anello chiuso rispetta le specifiche assegnate.

E) Il controllore C_1 ha in ingresso l'errore $e_1(t) = u_2(t) - y(t)$ e in uscita il controllo $u(t)$. Per prima cosa, è necessario ricavare l'equazione differenziale del controllore. Posto $C_1(s) = k_1 \frac{\tau_1 s + 1}{\tau_2 s + 1}$ si ottiene:

$$(\tau_2 s + 1) U(s) = (k_1 \tau_1 s + k_1) E_1(s),$$

da cui, per anti-trasformazione e supponendo nulle le condizioni iniziali, si ricava l'equazione in forma normale:

$$\dot{u}(t) + \frac{1}{\tau_2} u(t) = \frac{k_1 \tau_1}{\tau_2} \dot{e}_1(t) + \frac{k_1}{\tau_2} e_1(t).$$

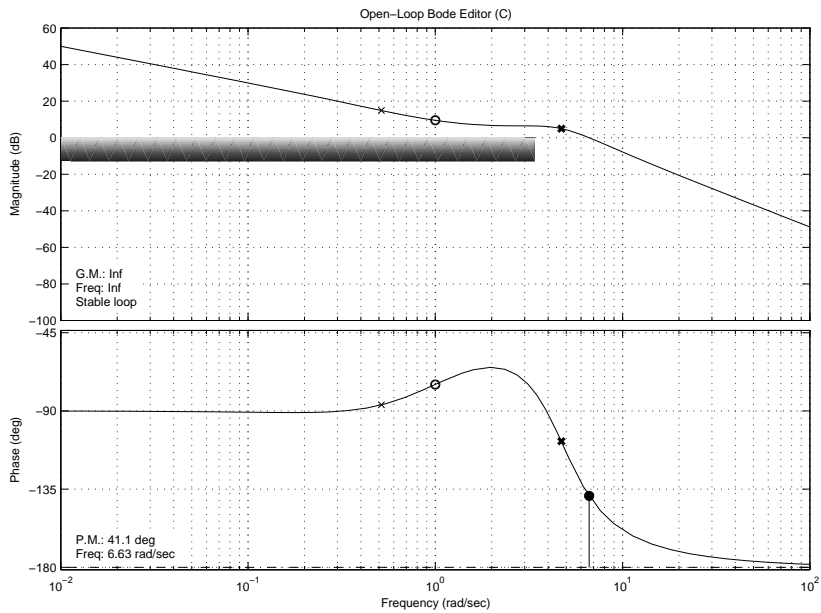


Figure 7: Diagrammi di Bode della f.d.t. $C_2(s)G_1(s)$ con $C_2(s) = 1.3 \frac{s+1}{s}$

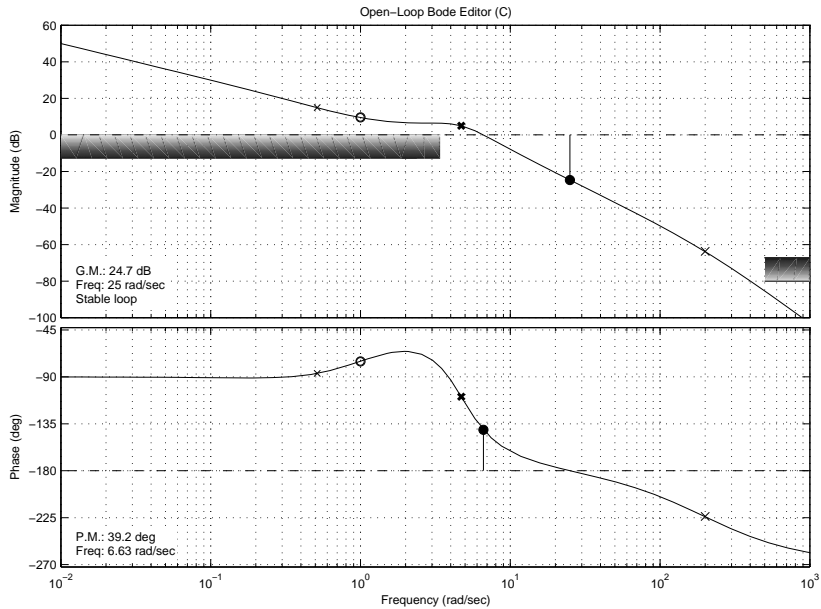


Figure 8: Diagramma di Bode della f.d.t. $C_2(s)G_1(s)$ con $C_2(s) = 1.3 \frac{(s+1)}{s(0.005s+1)}$

A questo punto, è immediato ottenere la rappresentazione del controllore C_1 in forma canonica di controllo, indicando con w il relativo stato e ricordando che il sistema non è strettamente proprio:

$$\begin{aligned}\dot{w}(t) &= A_a w(t) + B_a e_1(t), \\ u(t) &= C_a w(t) + D_a e_1(t),\end{aligned}$$

dove:

$$\begin{aligned}A_a &= -\frac{1}{\tau_2}, & B_a &= 1, \\ C_a &= \frac{k_1}{\tau_2} - \frac{k_1 \tau_1}{\tau_2^2}, & D_a &= \frac{k_1 \tau_1}{\tau_2}.\end{aligned}$$

Il controllore C_2 ha in ingresso l'errore $e_2(t) = r(t) - y(t)$ e in uscita il segnale $u_2(t)$. Anche in questo caso, posto $C_2(s) = k_2 \frac{\tau_3 s + 1}{s(\tau_4 s + 1)}$, è necessario ricavare l'equazione differenziale del controllore. Si ottiene:

$$(\tau_4 s^2 + s) U_2(s) = (k_2 \tau_3 s + k_2) E_2(s),$$

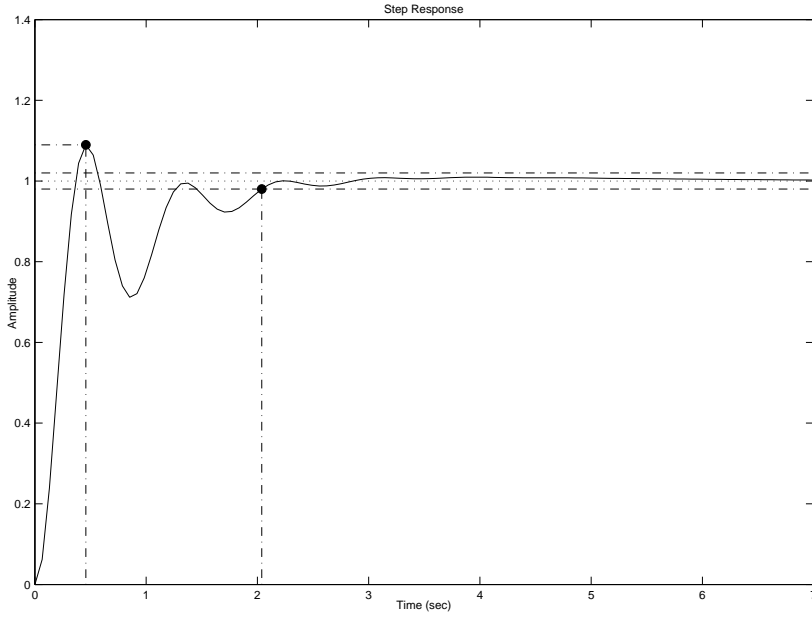


Figure 9: Risposta al gradino della f.d.t. di anello chiuso

da cui, per anti-trasformazione e supponendo nulle le condizioni iniziali, si ricava l'equazione in forma normale:

$$\ddot{u}_2(t) + \frac{1}{\tau_4} \dot{u}_2(t) = \frac{k_2 \tau_3}{\tau_4} \dot{e}_2(t) + \frac{k_2}{\tau_4} e_2(t).$$

A questo punto, è possibile ottenere la rappresentazione del controllore C_2 in forma canonica di controllo, indicando con \mathbf{z} il relativo stato:

$$\dot{\mathbf{z}}(t) = \mathbf{A}_b \mathbf{z}(t) + \mathbf{B}_b e_2(t),$$

$$u_2(t) = \mathbf{C}_b \mathbf{z}(t) + \mathbf{D}_b e_2(t),$$

dove:

$$\mathbf{A}_b = \begin{bmatrix} 0 & 1 \\ 0 & -\frac{1}{\tau_4} \end{bmatrix}, \quad \mathbf{B}_b = \begin{bmatrix} 0 \\ 1 \end{bmatrix},$$

$$\mathbf{C}_b = \begin{bmatrix} \frac{k_2}{\tau_4} & \frac{k_2 \tau_3}{\tau_4} \end{bmatrix}, \quad \mathbf{D}_b = 0.$$

Discretizzando la variabile tempo e indicando con i il generico istante di calcolo, è possibile approssimare la derivata prima degli stati w e \mathbf{z} con una differenza finita:

$$\dot{w}(i) \simeq \frac{w(i+1) - w(i)}{T}, \quad \dot{\mathbf{z}}(i) \simeq \frac{\mathbf{z}(i+1) - \mathbf{z}(i)}{T}.$$

La realizzazione in tempo discreto del controllore C_1 è quindi la seguente:

$$w(i+1) = A_{d_a} w(i) + B_{d_a} e_1(i),$$

$$u(i) = C_{d_a} w(i) + D_{d_a} e_1(i),$$

dove:

$$A_{d_a} = [T A_a + 1] = 1 - \frac{T}{\tau_2},$$

$$B_{d_a} = T B_a = T,$$

$$C_{d_a} = C_a,$$

$$D_{d_a} = D_a.$$

La realizzazione in tempo discreto del controllore C_2 è invece:

$$\mathbf{z}(i+1) = \mathbf{A}_{d_b} \mathbf{z}(i) + \mathbf{B}_{d_b} e_2(i),$$

$$u_2(i) = \mathbf{C}_{d_b} \mathbf{z}(i),$$

dove:

$$\mathbf{A}_{d_b} = [T \mathbf{A}_b + \mathbf{I}] = \begin{bmatrix} 1 & T \\ 0 & 1 - \frac{T}{\tau_4} \end{bmatrix},$$

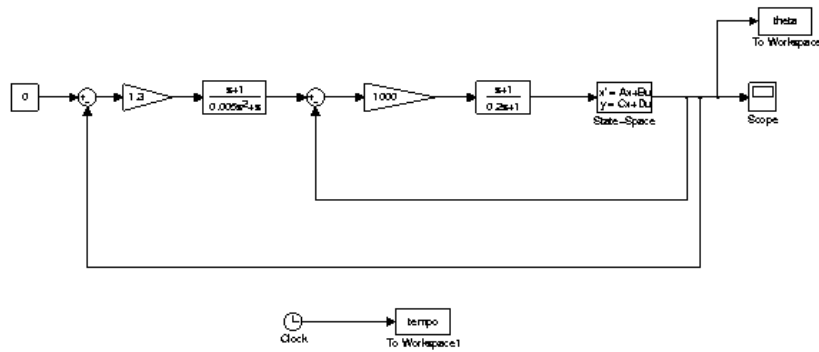


Figure 10: Schema Simulink per la simulazione del sistema in anello chiuso

$$\mathbf{B}_{db} = T\mathbf{B}_b = \begin{bmatrix} 0 \\ T \end{bmatrix},$$

$$\mathbf{C}_{db} = \mathbf{C}_b.$$

Il segmento di un programma per l'implementazione su computer del controllore globalmente progettato risulterebbe scritto, in uno pseudo-linguaggio di programmazione:

```

...
constant k1, k2, tau1, tau2, tau3, tau4, T, T_max;
constant z1_0=0;
constant z2_0=0;
constant w_0=0;
...
z1=z1_0;
z2=z2_0;
w=w_0;
for i=0:T_max/T
    u2=k2/tau4*z1+k2*tau3/tau4*z2;
    r=read(input1);
    y=read(input2);
    e2=r-y;
    e1=u2-y;
    z1_buffer=z1;
    z2_buffer=z2;
    z1=z1_buffer+T*z2_buffer;
    z2=(1-T/tau4)*z2_buffer+T*e2;
    u=(k1/tau2-k1*tau1/tau2^2)*w+k1*tau1/tau2*e1;
    write(u,output);
    w_buffer=w;
    w=(1-T/tau2)*w_buffer+T*e1;
end

```

Si noti che, avendo utilizzato la tecnica del doppio anello di retroazione, è necessario prima di tutto calcolare il segnale di uscita del controllore più esterno $u_2(i)$, per poi calcolare l'ingresso del controllore più interno $e_1(i) = u_2(i) - y(i)$.

OPZIONALE Poiché si chiede di simulare il sistema in anello chiuso nel caso in cui lo stato iniziale del pendolo non è nullo, è necessario descrivere il pendolo in forma di stato per mezzo delle matrici \mathbf{A} , \mathbf{B} , \mathbf{C} e \mathbf{D} e specificare le condizioni iniziali $x_0 = [0 \ 1]$. Lo schema Simulink progettato è riportato in fig.10. Si noti che il riferimento è nullo. L'evoluzione temporale del sistema viene riportata in fig.11. Si osserva che lo schema di controllo progettato è in grado di riportare il pendolo nello stato $\theta = \dot{\theta} = 0$.

Esercizio 2

- Il sistema può essere rappresentato in forma di stato per mezzo della matrice dinamica

$$A = \begin{bmatrix} 0 & 1 \\ -\frac{k}{m} & -\frac{b}{m} \end{bmatrix}.$$

Gli autovalori della matrice A valgono:

$$\lambda_{1,2} = -\frac{b}{2m} \pm \sqrt{\frac{b^2}{4m^2} - \frac{k}{m}}.$$

Il discriminante risulta positivo per $b > 2\sqrt{mk}$, quindi per valori esterni al campo di variazione di b indicato nel testo.

Al variare di b all'interno del campo indicato, si possono avere diverse situazioni.

- Caso $0 < b < 2\sqrt{mk}$. Si hanno autovalori complessi coniugati $\lambda_{1,2} = \sigma \pm j\omega$, con $\sigma = -\frac{b}{2m}$ e $\omega = \sqrt{\frac{k}{m} - \frac{b^2}{4m^2}}$. I modi propri del sistema sono del tipo $e^{\sigma t} \sin \omega t$, $e^{\sigma t} \cos \omega t$. Essendo $\sigma < 0$, i modi sono convergenti a zero.
- Caso $b = 0$. Si hanno autovalori immaginari puri $\lambda_{1,2} = \pm j\omega = \pm j\sqrt{\frac{k}{m}}$. Si hanno modi oscillanti, limitati ma non convergenti, del tipo $\sin \omega t$, $\cos \omega t$.
- Caso $b = 2\sqrt{mk}$. Gli autovalori della matrice A sono reali e coincidenti: $\lambda_{1,2} = -\sqrt{\frac{k}{m}}$. La molteplicità algebrica degli autovalori è 2, mentre la molteplicità geometrica è 1. La matrice A è infatti simile alla matrice di Jordan

$$J = \begin{bmatrix} -\sqrt{\frac{k}{m}} & 1 \\ 0 & -\sqrt{\frac{k}{m}} \end{bmatrix}.$$

I modi del sistema sono del tipo $e^{\lambda t}$, $te^{\lambda t}$; essi sono convergenti a zero, essendo $\lambda < 0$.

- La f.d.t. che lega l'ingresso $f(t)$ e l'uscita $y(t)$ è

$$G(s) = \frac{\frac{1}{k}}{\frac{m}{k}s^2 + \frac{b}{k}s + 1}.$$

La f.d.t. ricavata è tipica di un sistema del secondo ordine, con pulsazione naturale $\omega_n = \sqrt{\frac{k}{m}}$ e smorzamento dei poli $\delta = \frac{b}{2\sqrt{mk}}$. Al variare di b nell'intervallo specificato, δ varia da 0 a 1. I diagrammi di Nyquist dipendono dal valore di δ , quindi da b . In fig.12 vengono riportati alcuni diagrammi di Nyquist, relativi al caso $k = 1$, $m = 1$, per valori decrescenti di b . Si nota che al diminuire di b il diagramma di Nyquist si allarga. Il caso $b = \delta = 0$ è particolare, poiché Matlab non è in grado di tracciare correttamente il diagramma di Nyquist. Tracciando preventivamente i diagrammi di Bode, è comunque possibile tracciare il diagramma di Nyquist, come riportato in fig.13. Si noti che la fase di $G(j\omega)$ è, in questo caso, 0 o $-\pi$.

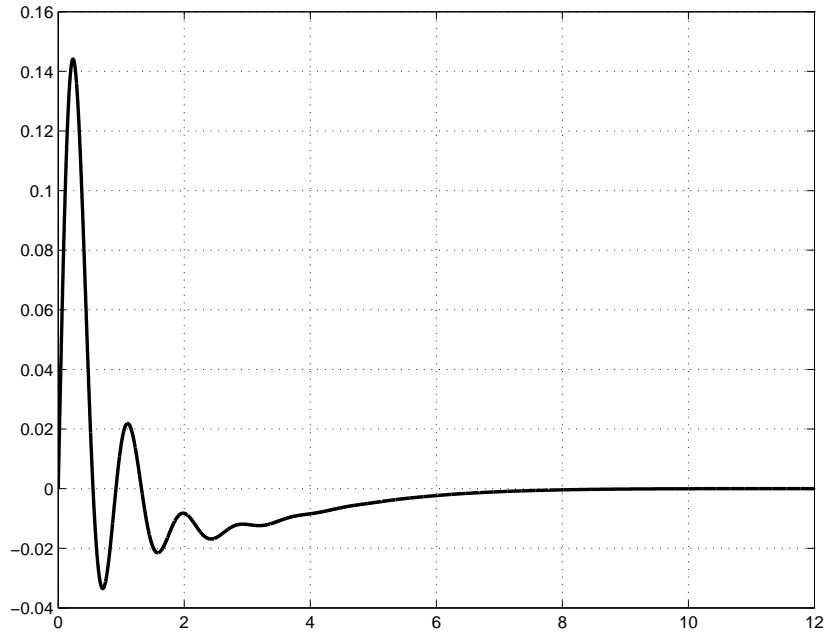


Figure 11: Evoluzione del sistema in anello chiuso nel caso $\theta(0) = 0, \dot{\theta}(0) = 1$

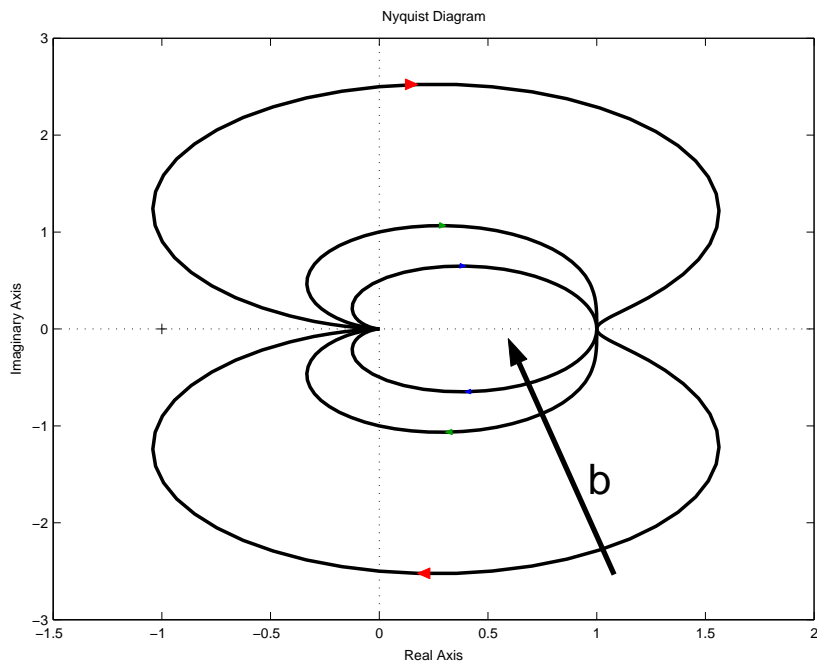


Figure 12: Diagrammi di Nyquist della f.d.t. $G(s)$ al variare del parametro b

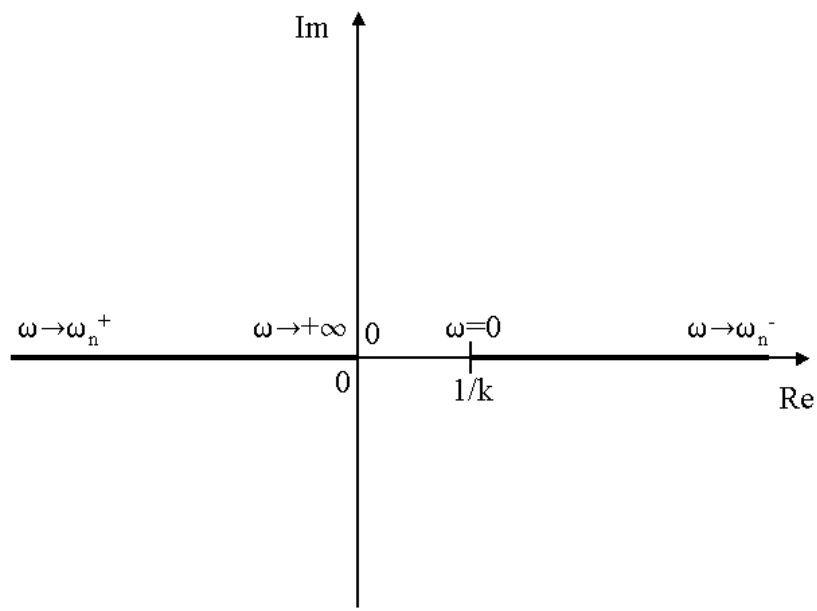


Figure 13: Diagrammi di Nyquist della f.d.t. $G(s)$ per $b = 0$